

### Označenie

Budem používať označenie *Horný Index* a *Dolný Index*, zavedené v reporte zo zimného semestra.

Nech  $predicates(q)$  je množina všetkých predikátov, od ktorých závisí predikát  $q$ . Im zodpovedajúce vrcholy v grafe definície budem značiť modrou farbou.

Potom nech  $predicates(q, i) := \{p^j | p \in predicates(q) \wedge q^i\}$  (Pre všetky  $p \in predicates(q)$  je ich horný index  $j$  jednoznačne určený voľbou indexu  $i$  - postup je podrobnejšie popísaný v reporte zimného semestra).

Potom nech  $predicates(q, i, c) := \{p_c^i | p \in predicates(q)\}$ . Im zodpovedajúce vrcholy v grafe definície budem značiť oranžovou farbou.

### Cieľ letného semestra

Implementovať rozšírenie pre projekt, ktoré umožní vypočítať rekurzívne dotazy. Na počiatku semestra sme si položili otázku: "Ako reprezentovať rekurzívny dotaz?". Je to súbor pravidiel, podobne ako nerekurzívny dotaz. Aby ale bolo možné realizovať top-down výpočet, pridal som metódy:

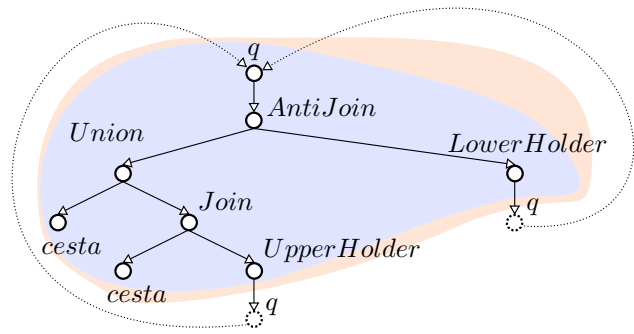
$q.instance(i, c)$  - vypočíta predikát  $q_c^i$

$q.getC(i)$  - pomocou opakovaných volaní  $instance(i, c)$  vypočíta *Dolný Index* uzáveru predikátu  $q^i$

$q.getI()$  - pomocou opakovaných volaní  $getC(i)$  vypočíta *Horný Index* predikátu  $q$ , spĺňajúci podmienku ukončenia

### LowerHolder a UpperHolder

Objekty *UpperHolder* a *LowerHolder* slúžia ako pointer na rekurzívny predikát. Je to spôsob, ktorým sa detekuje vnáranie sa do rekurzie pri prechádzaní stromu definície. Prechodom cez *UpperHolder* sa zníži *Dolný Index* - slúži na výpočet uzáveru pomocou naivnej evaluácie. *LowerHolder* sa použije vždy keď  $q$  a pointer na  $q$  nie sú pod rovnakým horným indexom (to znamená, keď sa prešlo cez *AntiJoin*). Prechod cez *LowerHolder* neznižuje *Horný Index*, pretože uzávěry rôznych *Horných Indexov* sú navzájom nezávislé - pod negatívnou stranou *AntiJoin*-u sa znova počíta uzáver pre znížený *Horný Index*. Množina vrcholov pre  $predicates(q)$  je oddelená od zvyšku grafu definície vrcholmi typu *UpperHolder* a *LowerHolder* (aby sa nevytvorila nekonečná rekurzívna reťaz). Množina vrcholov pre  $predicates(q, i, c)$  je oddelená od zvyšku grafu definície vrcholmi typu *UpperHolder* a *AntiJoin*.



Obr. 1: Definícia (konkrétny program je uvedený nižšie)

### Definícia vs. Výpočtový strom

V projekte "Datalog->RA" doteraz triedy implementujúce rozhranie *Operator* poskytovali metódu  $next()$ . Inak povedané, definície predikátov a ich výpočtové stromy boli rovnaké objekty. S pridaním rekurzívnych predikátov do projektu sa objavuje potreba novej abstrakcie nad týmito objektami. Totiž definícia rekurzívneho predikátu nie je strom, ale graf obsahujúci cykly (nejaký predikát sa v definícii zopakuje). Teraz rozhranie *Operator* poskytuje metódu  $instance()$  vracajúcu objekt typu *ConcreteOperator*. Rozhranie *ConcreteOperator* poskytuje metódu  $next()$ , rozhranie *Operator* nie. Tým sa dosiahlo oddelenie definície predikátu od jeho výpočtového stromu. Výhody oddelenia spočívajú v tom, že niektoré vrcholy môžu mať interný stav (napríklad *Union* si pamätá, či má nasledujúci tuple vrátiť z ľavého/pravého syna). Okrem toho pri prechode grafom definície vytvárame na viacerých miestach nové stromy výpočtu (napríklad pod negatívnou stranou *AntiJoin*-u sa znova počíta uzáver pre znížený *Horný Index*).

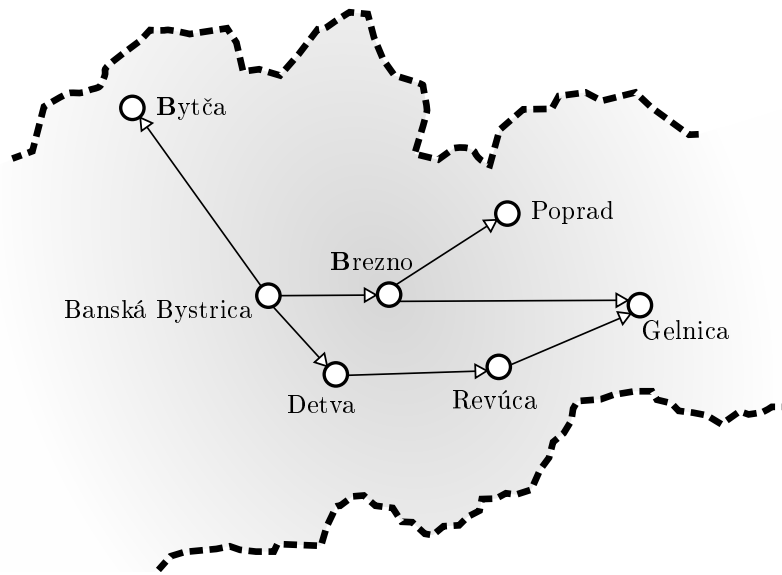
## Hľadanie minimálnych indexov

V reporte zimného semestra som spomínal, že o ukončovaní predikátu  $q$  nestačí rozhodovať len lokálne, ale je potrebné overiť podmienku ukončenia aj pre všetky predikáty  $r$ , od ktorých  $q$  závisí - to znamená pre  $\forall r \in \text{predicates}(q)$  hľadáme *Horný Index*  $I$  a jemu zodpovedajúci *Dolný Index*  $C$ , pre ktoré platí:

$$\begin{aligned} I = \min\{ i \mid & \\ & i \geq 3 \\ & \wedge \\ & (\forall t: t \in r_C^i \Rightarrow t \in r_C^{i-2}) \\ & \wedge \\ & (\forall t: t \in r_C^{i-2} \Rightarrow t \in r_C^i) \\ & \wedge \\ & C = \min\{ c \mid \\ & c \geq 2 \\ & \wedge \\ & [\forall p_c^i \in \text{predicates}(r, i, c) \forall p_{c-1}^i \in \text{predicates}(r, i, c-1) \\ & \quad \forall p_c^{i-2} \in \text{predicates}(r, i-2, c) \forall p_{c-1}^{i-2} \in \text{predicates}(r, i-2, c-1) : \\ & \quad (\forall t: t \in p_c^i \Rightarrow t \in p_{c-1}^i) \wedge (\forall t: t \in p_c^{i-2} \Rightarrow t \in p_{c-1}^{i-2})] \\ & \} \\ & \} \end{aligned}$$

Na výstupe výpočtu  $q$  sú len tuples patriace do všetkých troch posledných iterácií *Horného indexu*  $q_C^I, q_{C_{i-1}}^{I-1}, q_C^{I-2}$ . Keďže  $q_C^I = q_C^{I-2}$  (podmienka ukončenia), výstup výpočtu  $q$  je ekvivalentný  $q_{C_{i-1}}^{I-1} \cap q_C^I$ .

## Príklad



Obr. 2: Mapa databázy

V databáze máme jediný predikát *cesta*(odkiaľ, kam) reprezentujúci orientovaný graf:

*cesta*("Banská Bystrica", "Brezno").

*cesta*("Banská Bystrica", "Detva").

*cesta*("Banská Bystrica", "Bytča").

*cesta*("Brezno", "Poprad").

*cesta*("Brezno", "Gelnica").

*cesta*("Detva", "Revúca").

*cesta*("Revúca", "Gelnica").

Nech  $q$  je množina miest, kam sa vieme dostať z Banskej Bystrice bez toho, aby sme prechádzali cez mestá, ktoré nemajú jedinečné začiatkové písmeno v množine  $q$ . Chceme vypočítať množinu  $q$ .

Zaujímavé sú mestá Bytča a Brezno. Do oboch sa z Banskej Bystrice možno dostať, preto ich dočasne umiestnim do množiny  $q$ . Hneď ich z nej ale odstránim, pretože sa obe začínajú na písmeno B. V momente, keď ich odstránim sa ale v množine  $q$  nenachádza žiadne mesto na písmeno B, takže by som ich mal podľa definície vložiť nazad do  $q$  - to je moment, kedy sa vnárame do rekurzie. Okrem toho počítame rekurzívne aj nepriame cesty ako tranzitívny uzáver.

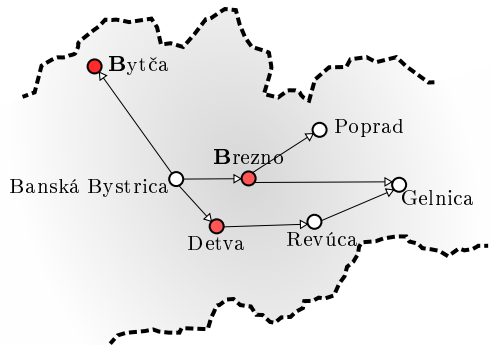
Dotaz  $q$  môžeme zapísať v relačnej algebre ako:

```
priame =  $\pi_{\text{kam}}$  (  $\sigma_{\text{odkial}=\text{Banská Bystrica}}$  cesta )
```

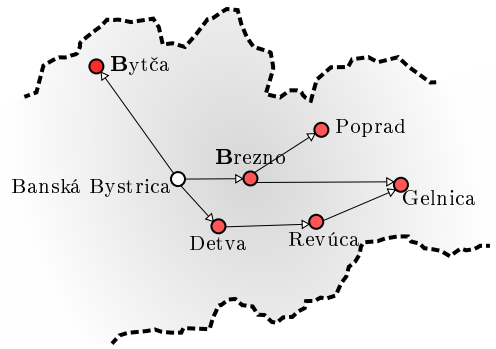
```
q =  $\rho_{q_1}$  [ priame  $\cup$   $\pi_{\text{cesta.kam}}$  ( q  $\bowtie_{\text{q.kam}=\text{cesta.odkial}}$  cesta ) ]  $\triangleright_{\text{q1.kam.charAt(0)=q2.kam.charAt(0)}$   $\rho_{q_2}$  q
```

Program začne výpočet  $q$  výpočtom uzáveru  $q^3$ . Dopracuje sa k  $q_3^3 = \{\text{Bytča, Brezno, Detva, Revúca, Poprad, Gelnica}\}$ . Teraz ho chce porovnať s  $q^1$ , preto vypočíta uzáver  $q^1$ . Dopracuje sa k  $q_3^1 = \{\text{Bytča, Brezno, Detva, Revúca, Poprad, Gelnica}\}$ . Keďže  $q_3^3 = q_3^1$  (a predikát *cesta* tiež triviálne spĺňa podmienku ukončenia, keďže je EDB) výpočet skončí. Vypočíta uzáver  $q^2$ , dopracuje sa k  $q_4^2 = \{\text{Detva, Revúca, Gelnica}\}$ . Na výstup pošle  $q_3^3 \cap q_4^2 = \{\text{Detva, Revúca, Gelnica}\}$ .

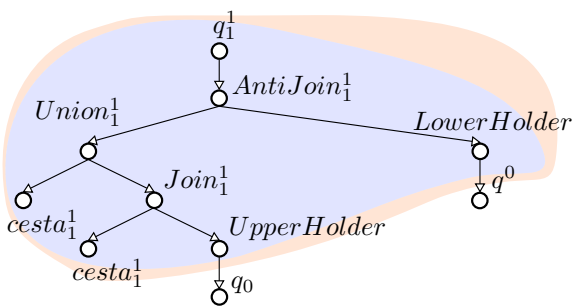
Nižšie som pre vizualizáciu miery opakovania výpočtov rozkreslil niektoré medzivýpočty.



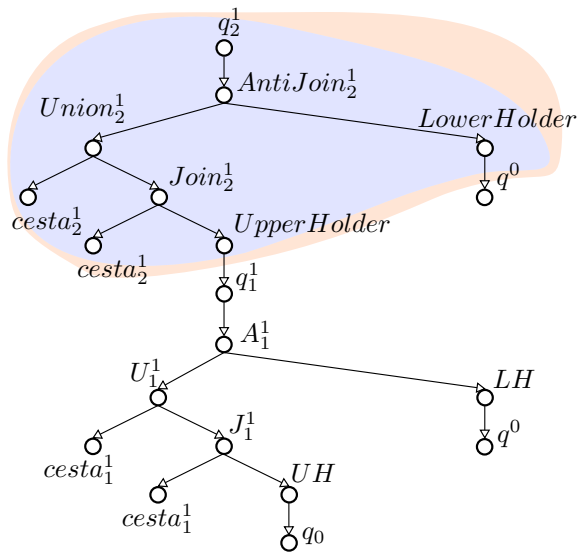
Obr. 3: Mapa  $q_1^1$



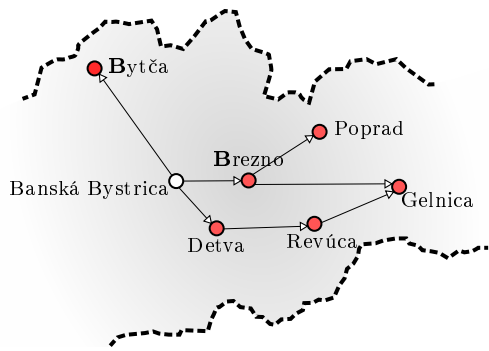
Obr. 4: Mapa  $q_2^1$



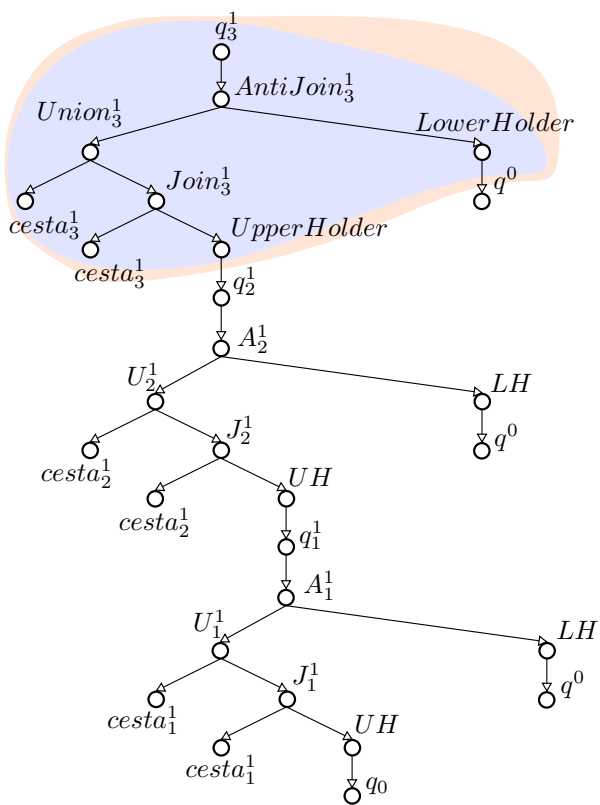
Obr. 5: Mestá do vzdialenosti 1



Obr. 6: Mestá do vzdialenosti 2

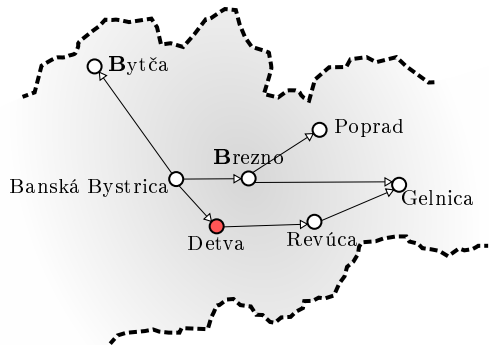


Obr. 7: Mapa  $q_3^1$

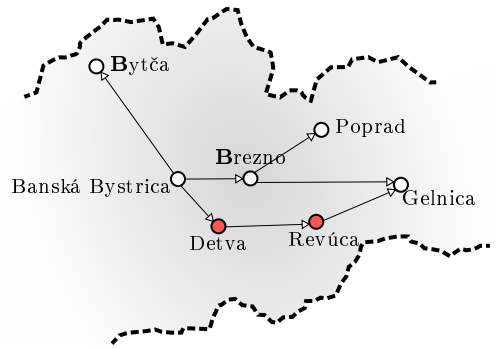


Obr. 8: Mestá do vzdialenosti 3

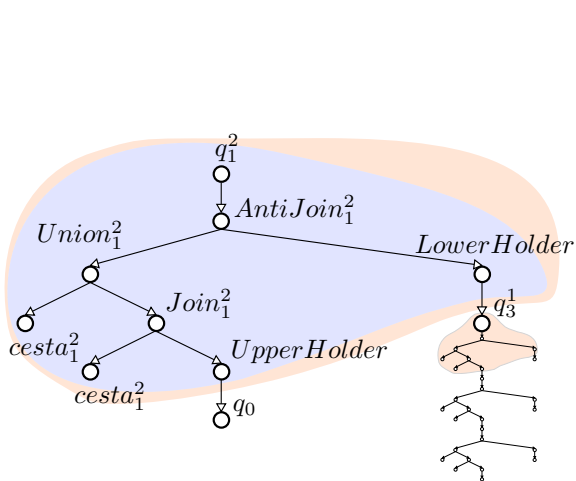
Výpočet  $q^1$  skončí, pretože  $q_3^1 = \{\text{Bytča, Brezno, Detva, Revúca, Poprad, Gelnica}\} = q_2^1 = \{\text{Bytča, Brezno, Detva, Revúca, Poprad, Gelnica}\}$



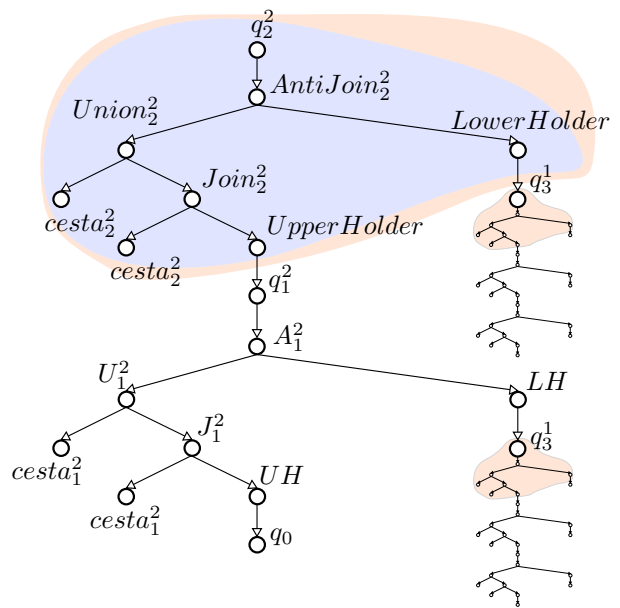
Obr. 9: Mapa  $q_1^2$



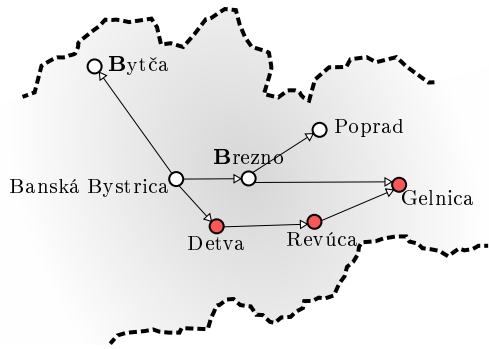
Obr. 10: Mapa  $q_2^2$



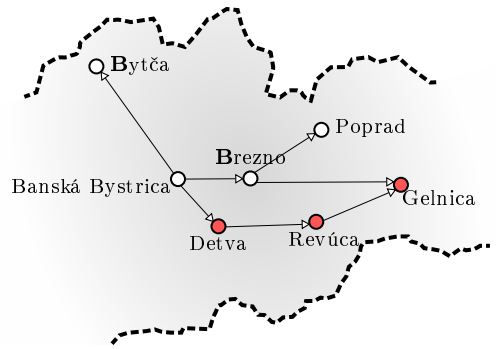
Obr. 11: Mestá do vzdialenosti 1



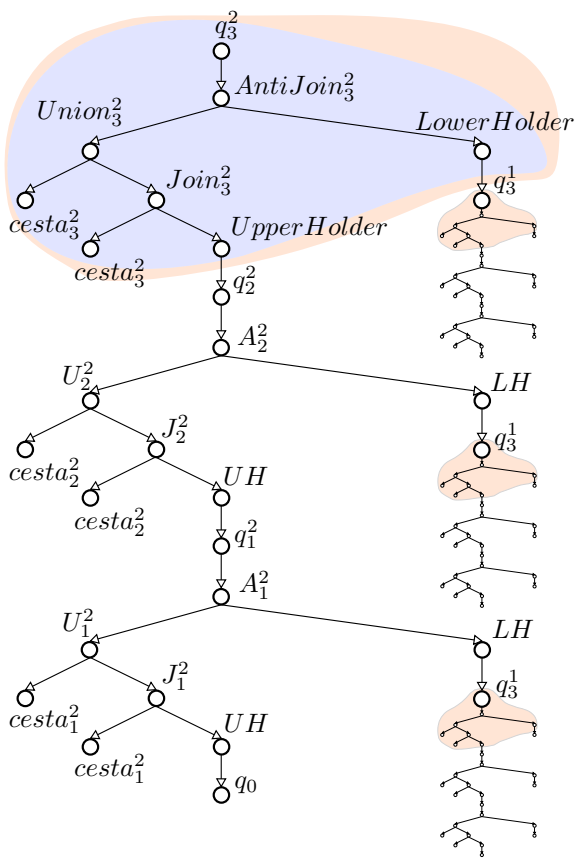
Obr. 12: Mestá do vzdialenosti 2



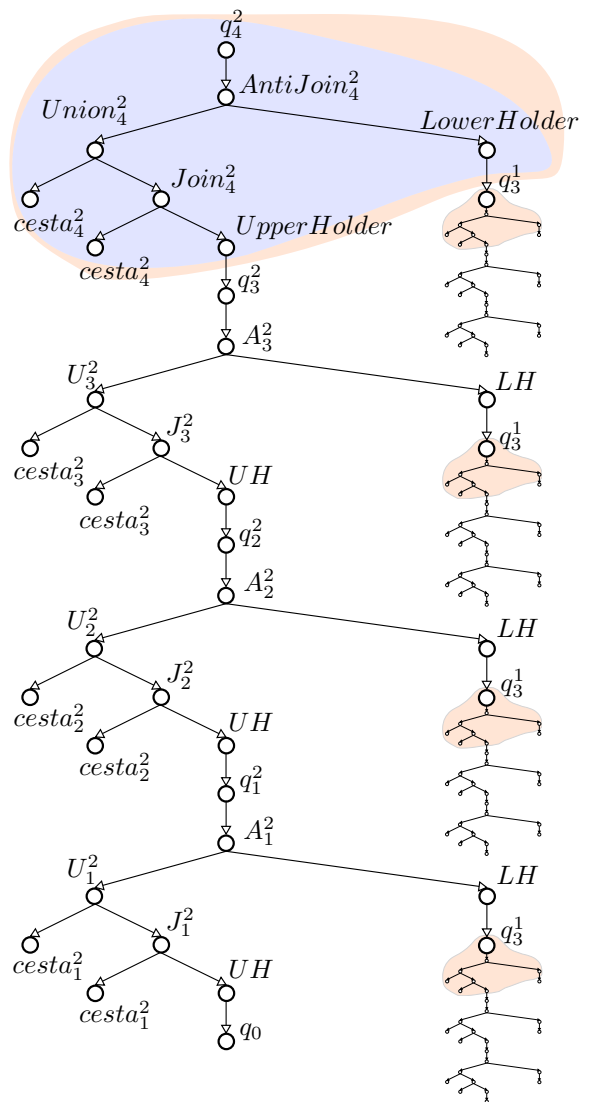
Obr. 13: Mapa  $q_3^2$



Obr. 14: Mapa  $q_4^2$

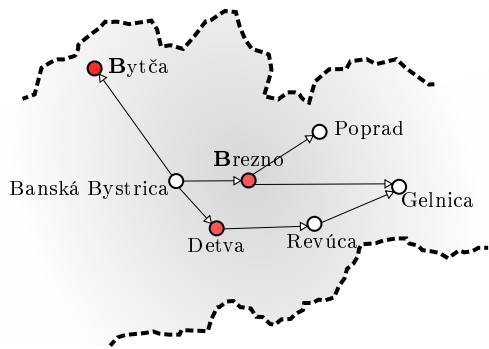


Obr. 15: Mestá do vzdialenosti 3

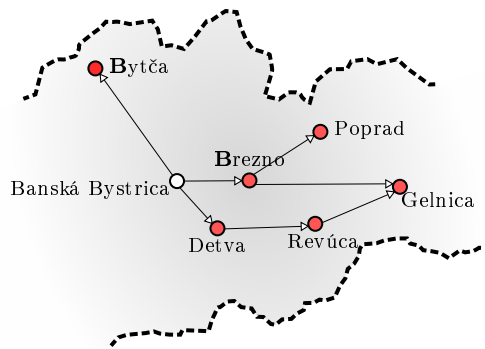


Obr. 16: Mestá do vzdialenosti 4

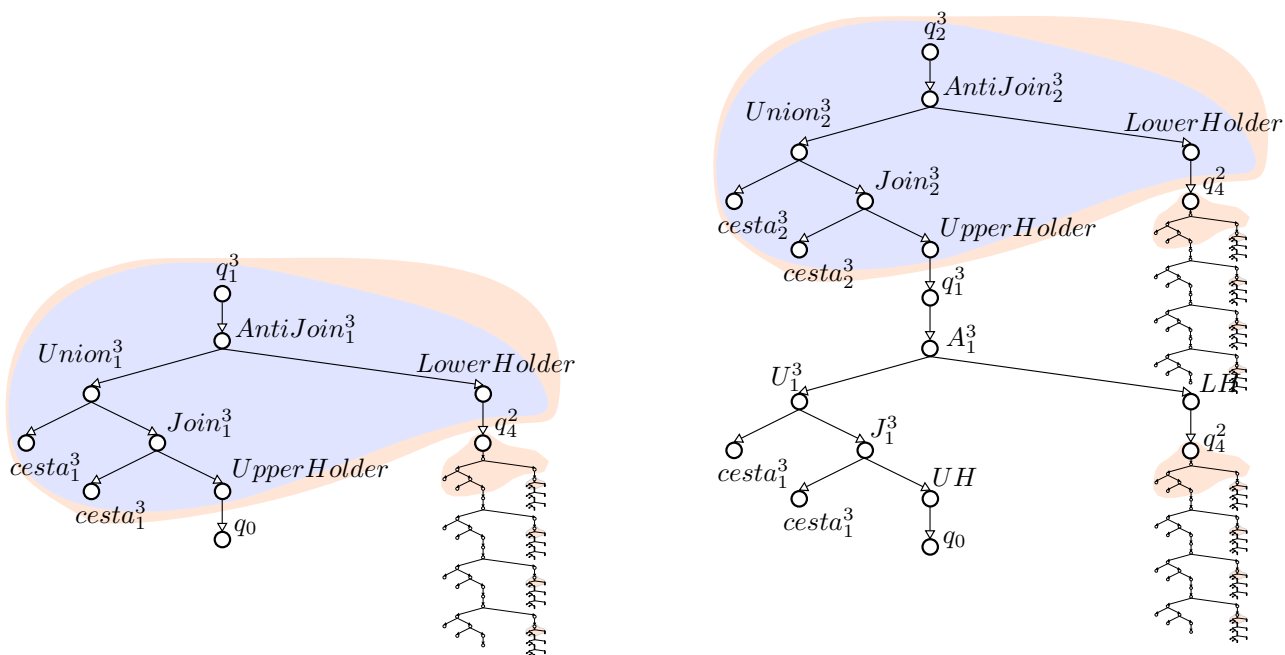
Výpočet  $q^2$  skončí, pretože  $q_4^2 = \{\text{Detva, Revúca, Gelnica}\} = q_3^2 = \{\text{Detva, Revúca, Gelnica}\}$



Obr. 17: Mapa  $q_1^3$



Obr. 18: Mapa  $q_2^3$



Obr. 19: Mestá do vzdialenosti 1

Obr. 20: Mestá do vzdialenosti 2



